



УДК 532.5:533.6.011.5

ГОМЭНТРОПИЧЕСКАЯ МОДЕЛЬ ОТРАЖЕНИЯ СФЕРИЧЕСКОЙ УДАРНОЙ ВОЛНЫ ОТ ЦЕНТРА СХОЖДЕНИЯ

И.А. Чернов

Саратовский государственный университет,
кафедра вычислительного эксперимента в механике
E-mail: chernov-ia@yandex.ru

Обсуждается частный случай движения имплозивной ударной волны по покоящемуся газу с нулевым давлением, но с переменной плотностью. Плотность описывается степенной зависимостью от расстояния до точки фокусировки ударной волны. Предлагается такой выбор показателя степени в этой зависимости, чтобы энтропия во всей области течения после прохождения ударной волны была постоянной (гомэнтропичность). При этом получается качественно другое по сравнению с классическим случаем Гудерлея – Ландау – Станюковича поведение температуры.

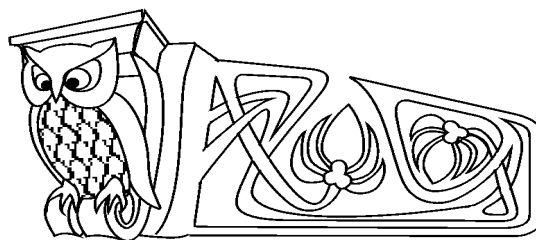
Ключевые слова: одномерные течения, автомодельные течения, сходящаяся ударная волна, гомэнтропическая модель.

ВВЕДЕНИЕ

Решение задачи о сходящейся к центру ударной волне (УВ) было получено Гудерлеем [1] и независимо от него Л.Д. Ландау и К.П. Станюковичем [2, 3]. Эта задача имеет большое прикладное значение, поскольку описывает один из способов создания экстремальных условий в малой области пространства. Существование автомодельных решений степенного вида предопределено наличием двухпараметрической группы подобных преобразований соответствующей системы уравнений газовой динамики идеального газа [4]. Эти решения описываются нелинейной системой *обыкновенных дифференциальных уравнений* (ОДУ) первого порядка, в которую входят три независимых параметра: $\gamma = C_p/C_v$ — показатель адиабаты Пуассона ($p/\rho^\gamma = \text{const}$); ω — показатель степени в автомодельном представлении плотности $\rho = \rho_0 t^\omega R(\xi)$ ($\rho_0 = \text{const}$); n — показатель автомодельности, где $\xi = r/(Kt^n)$ — независимая автомодельная переменная (t — время, r — пространственная координата, K — масштабная константа). Выбор показателя γ определяет свойства изучаемого газа. Нахождение n осуществляется решением специальной переопределенной краевой задачи названной системы ОДУ и находится на первом временном этапе (до момента фокусировки УВ). При выборе ω используют [1–3] модель *сильной УВ* (СУВ) и поскольку УВ распространяется по однородному газу, то полагают $\partial p(t, \xi)/\partial t = 0$, как до, так и после нее, тогда как $p(t, \xi)$ — функция двух независимых переменных t, ξ . В результате энтропийная функция $s = p/\rho^\gamma$ для течения после ударной волны является функцией лагранжевой координаты, то есть сохраняется вдоль траектории частицы — это свойство изэнтропии, но не гомэнтропии (постоянство энтропии в двумерной области (r, t) — англоязычный термин).

Ниже обсуждается другая теоретическая возможность: показатель ω выбирается из условия $\partial s(t, \xi)/\partial t = 0$ — это оказывается (вместе с условием адиабатичности) достаточным условием гомэнтропии (соответственно гомэнтропическая УВ (ГУВ)). Это означает, что энтропия меняется скачком на ГУВ одинаково для всех жидких частиц.

В работе Хантера [5], посвященной проблеме схлопывания пустой сферической полости (каверны) в воде, для изучения эффекта сжимаемости среды использовалась газодинамическая модель течения с показателем $\gamma = 7$. Так как это течение начинается как гомэнтропическое, то автор использовал для определения давления уравнение состояния среды в конечной форме и рассмотрел систему двух дифференциальных законов: неразрывности и количества движения вместе с интегралом адиабаты.



Homentropic Model of Spherical Shock Wave Reflection from the Center of Convergence

I.A. Chernov

Saratov State University,
Chair of Mechanics Computational Experiment
E-mail: chernov-ia@yandex.ru

An implosive shock wave on a based gas the particular case of motion with zero pressure, but with variable density is discussed. The density is described by degree relation to distance up to a point of focusing of a shock wave. Such selection of an exponent in this relation that the entropy in all area of flow after passage of a shock wave was a constant (homentropic case) is offered. Thus qualitatively different behaviour of temperature in comparison with classical case Guderley – Landau – Stanjukovich is obtained.

Key words: one-dimensional flows, self-similar flows, converging shock wave, homentropic model.



Этот подход распространялся и на вторую стадию течения, когда возникала отраженная УВ (от центра после схлопывания каверны). Это пример течения, в котором энтропия постоянна всюду (не меняется на УВ), то есть выполняется глобальная гомэнтропичность. Работа интересна, в частности, тем, что в ней описана техника построения ударной волны, которая возникает после схлопывания полости.

В дальнейшем это изучение для других значений γ , а также при использовании кусочно-постоянных значений энтропии до и после отраженной УВ (гомэнтропическая модель) продолжил Лазарус [6]. Задача о каверне изучалась параллельно с задачей о сходящейся к центру УВ с последующим отражением от центра, но здесь автор использовал классическую модель СУВ.

Ниже повторяется соответствующий результат Лазаруса для частного случая $\gamma = 7/5$ и результаты сравниваются с новым расчетом при том же γ , но по гомэнтропической модели.

Если оставаться в рамках классического подхода, то представленный результат можно рассматривать как относящийся к частному случаю движения сильной УВ по покоящемуся газу с нулевым давлением, но с переменной по пространству начальной плотностью. Подобная трактовка используется в астрофизике [7].

Таким образом, цель работы — сравнение результатов расчета процесса схождения — отражения сферической УВ по двум моделям: классической [1–3] и по модели ГУВ для одного и того же показателя $\gamma = 7/5$.

1. ОСНОВНЫЕ УРАВНЕНИЯ

Изучаются одномерные неустановившиеся адиабатические течения идеального совершенного газа для случая сферической симметрии течения. Оно характеризуется скоростью $u = u(r, t)$, плотностью $\rho = \rho(r, t)$ и квадратом локальной скорости звука $c2 = c2(r, t)$, который с точностью до коэффициента совпадает с абсолютной температурой. Основные уравнения таковы:

$$\begin{aligned} \frac{d}{dt}\rho + \rho \frac{\partial}{\partial r}u + \frac{(\nu - 1)\rho u}{r} = 0, \quad \gamma \frac{d}{dt}u + \frac{\partial}{\partial r}c2 + c2 \frac{\partial}{\partial r} \ln(\rho) = 0, \\ \frac{d}{dt} \left(\frac{c2}{\rho^{\gamma-1}} \right) = 0, \quad \frac{d}{dt} = \frac{\partial}{\partial t} + u \frac{\partial}{\partial r}. \end{aligned} \quad (1)$$

Предполагая автомодельность, зададим искомые функции в форме ($m = 1/n$, $\eta = 1/\xi^n$):

$$t = K^{-m}\eta r^m, u = \frac{K^m r^{1-m} U1(\eta)}{m}, \quad \rho = \rho_0 r^w R1(\eta), \quad c2 = \frac{K^{2m} r^{2-2m} Z1(\eta)}{m^2}. \quad (2)$$

Функции $\{U1, R1, Z1\}$ называются *автомодельными представителями* (АП) (по r) функций $\{u, \rho, c2\}$ соответственно. Они описывают поведение $\{u, \rho, c2\}$ при фиксированном r в зависимости от t .

После подстановки заданного вида (2) в основную систему (1) получается три ОДУ для $\{U1(\eta), R1(\eta), Z1(\eta)\}$.

Эта система приводится к нормальному виду (разрешенному относительно производных), затем она записывается в виде автономной системы четырех ОДУ (без знаменателей в правых частях с независимой переменной x — искусственным временем)

$$\begin{aligned} \frac{d}{dx} Z1(x) &= Z1(x) [(k_{111} U1(x) + k_{110}) Z1(x) + k_{103} U1(x)^3 + k_{102} U1(x)^2 + k_{101} U1(x)], \\ \frac{d}{dx} U1(x) &= [-1 + U1(x)\eta(x)] [(k_{311} U1(x) + k_{310}) Z1(x) + k_{303} U1(x)^3 + k_{302} U1(x)^2], \\ \frac{d}{dx} R1(x) &= R1(x) [(k_{211} U1(x) + k_{210}) Z1(x) + k_{202} U1(x)^2 + k_{201} U1(x)], \\ \frac{d}{dx} \eta(x) &= m\gamma [-1 - 2U1(x)\eta(x) + U1(x)^2\eta(x)^2 - Z1(x)\eta(x)^2] [-1 + U1(x)\eta(x)]. \end{aligned} \quad (3)$$

Коэффициенты k зависят от основных параметров задачи $\{m, w = \omega/n, \gamma, \nu = 1, 2, 3$ для *плоского, цилиндрического, сферического случаев симметрии течения* и автомодельной независимой переменной η : $k_{110} = -\eta(2m - 2 - w)(\gamma - 1)$, $k_{111} = 2\eta^2\gamma(m - 1)$, $k_{103} = \gamma\eta^2(-\gamma + 3 - 2m + \gamma\nu - \nu)$, $k_{102} = \gamma\nu(\gamma - 5 + 3m - 2\gamma\nu + 2\nu + \gamma m)$, $k_{101} = -\gamma(\gamma m - \gamma\nu - 2 + m + \nu)$, $k_{210} = -\eta(2m - 2 - w)$,



$$k_{211} = -\eta^2 \gamma w, \quad k_{201} = \gamma(-w + m - \nu), \quad k_{202} = \gamma \eta(1 - 2w + m - 2\nu), \quad k_{203} = \eta^2 \gamma(-1 + w + \nu), \\ k_{310} = 2m - 2 - w, \quad k_{311} = \gamma \eta(-\nu + m), \quad k_{302} = \gamma(m - 1) \quad k_{303} = -\gamma \eta(m - 1).$$

Эта система удобна для расчетов и в том частном случае, когда приходится проходить точку с $\eta = 0$, что соответствует $t = 0$ (момент фокусировки УВ), которая не является особой точкой для системы (3).

Чтобы иметь возможность сравнения результатов с результатами классического подхода, рассмотрим наряду с (2) традиционное представление основных величин [8]

$$r = Kt^n \xi, \quad u = nKt^{n-1} \xi U(\xi), \quad \rho = \rho_0 t^\omega R(\xi), \quad c2 = n^2 K^2 t^{2n-2} \xi^2 Z(\xi). \quad (4)$$

Отметим различие: здесь $U(\xi), Z(\xi)$ — это *фазовые переменные*, тогда как $\{U2 = \xi U(\xi), Z2 = \xi^2 Z(\xi), R2 = R(\xi)\}$ — это АП (*no t*) искомым функций $\{u, \rho, c2\}$. Две функции $U(\xi), Z(\xi)$ параметрически представляют решение ОДУ первого порядка для функции $Z = Z(U)$ (фазовая плоскость $\{U, Z\}$)

$$\frac{d}{dU} Z(U) = \frac{num}{den}, \quad (5)$$

$$num = -Z(5U\gamma + 2\gamma nU^2\nu - U^3\gamma n\nu - 2\gamma^2 nU^2\nu + U^3\gamma^2 n\nu + \gamma^2 nU\nu + \\ + Z(U)\gamma\omega - U\gamma^2 + U^2\gamma^2 + 2\gamma nZ(U) + 2\gamma nU - 5\gamma nU^2 + 3U^3\gamma n + \gamma^2 nU^2 - \\ - U^3\gamma^2 n - 2\gamma nUZ(U) - \gamma nU\nu + 2Z(U) - Z(U)\omega - 2nZ(U) - 3U^2\gamma - 2\gamma), \\ den = (-U^3 n\gamma + U^2\gamma + nU^2\gamma + Z(U)\gamma nU\nu - U\gamma - 2Z(U) + Z(U)\omega + 2nZ(U))(U - 1).$$

Качественный анализ этого ОДУ содержится в [8]. После того как решение $Z = Z(U)$ найдено, следует осуществить две квадратуры для определения $\xi = \xi(U)$ и $R = R(U)$.

Сравнивая два представления (2) и (4), легко получить соотношения:

$$\xi = \eta^{-n}, \quad U(\xi) = \eta U1(\eta), \quad Z(\xi) = \eta^2 Z1(\eta), \quad R(\xi) = \frac{R1(\eta)}{\eta^\omega}.$$

Если в течении есть автомодельная ударная волна $\eta S = \eta1 = \eta2 = \text{const}$, то при ее переходе выполняются три закона сохранения — массы, импульса и энергии. Считая параметры с индексом 1 известными, находят параметры с индексом 2 ($U1 = U11, Z1 = Z11, R1 = R11, \dots; U2 = U12, \dots$) — для значений представителей сразу за скачком

$$U2 = \frac{\gamma U1^2 - U1^2 + 3U1\eta1 - \gamma U1\eta1 - 2\eta1^2 + 2Z1}{\gamma U1 + U1 - \gamma \eta1 - \eta1}, \\ R2 = \frac{R1(\gamma \eta1^2 + \gamma U1^2 - 2\gamma U1\eta1 + \eta1^2 + U1^2 - 2U1\eta1)}{\gamma \eta1^2 - \eta1^2 + 2Z1 + \gamma U1^2 - 2\gamma U1\eta1 - U1^2 + 2U1\eta1}, \quad (6) \\ Z2 = \frac{1}{(\gamma U1 + U1 - \gamma \eta S - \eta S)^2} (12\gamma^2 U1^2 \eta1^2 - 12\gamma U1^2 \eta1^2 - \gamma^2 U1^2 Z1 + 6\gamma \eta1^2 Z1 - 2\gamma Z1^2 - 2\gamma \eta1^4 + \\ + 6\gamma U1^2 Z1 + 8\gamma U1\eta1^3 + 2U1\eta1 Z1 - 12\gamma U1\eta1 Z1 + 2\gamma^2 U1\eta1 Z1 - 8\gamma^2 U1^3 \eta1 - 8\gamma^2 U1\eta1^3 - \\ - \gamma^2 \eta1^2 Z1 + 2\gamma^2 U1^4 - 2\gamma U1^4 - U1^2 Z1 - \eta1^2 Z1 + 2Z1^2 + 2\gamma^2 \eta1^4 + 8\gamma U1^3 \eta1).$$

Если УВ распространяется по неподвижному газу с $\{U10 = 0, Z10 = 0, R10 = \rho_0\}$, то позади нее должно быть

$$U20 = \frac{2\eta1}{\gamma + 1}, \quad Z20 = \frac{2\gamma \eta1^2 (\gamma - 1)}{(\gamma + 1)^2}, \quad R20 = \frac{\rho_0 (\gamma + 1)}{\gamma - 1}.$$

Введем в рассмотрение энтропийную функцию $s = \frac{p}{\rho^\gamma}$. Вдоль траектории частицы s имеет постоянное значение в силу третьего уравнения из (1). Для гоэнтропического потока эта постоянная одна для всех траекторий. Выражая s в автомодельном случае через (t, ξ) с использованием формул (4), получим $s = s_0 t^{\omega(1-\gamma)+2n-2} S(\xi)$, где $s_0 = \rho_0^{1-\gamma} n^2 K^2$, $S = \xi^2 R(\xi)^{1-\gamma} Z(\xi)$.



Условием того, что s явно не зависит от времени, является равенство

$$\omega = \frac{2(n-1)}{\gamma-1}.$$

Если предполагается гомэнтропичность течения в какой-то области, то это означает использование уравнения адиабаты Пуассона, которая определяет квадрат скорости звука через плотность. Вместо основных уравнений (1) можно использовать первые два из них вместе с интегралом адиабаты, при этом значение двух разных постоянных в интеграле вычисляется по (6).

2. ПОСТАНОВКА ЗАДАЧИ

Чтобы описать изучаемое явление, полезно рассмотреть плоскость (r, t) (рис. 1). Отрицательному времени соответствует фаза схождения УВ к центру. УВ1 изображает ее траекторию, ПХ — траекторию предельной характеристики, УВ2 — отраженной УВ. Каждая из них описывается обобщенной параболой $\eta = \text{const}$. Полуплоскость $r = 0$ разделена на 4 под-области, обозначенные цифрами 1–4. Подобласть 1 изображает покоящийся газ, траектория частицы — пунктирная вертикальная прямая, идущая вверх.

После пересечения ее с УВ1 возникает движение частиц к центру фокусировки $r = 0$ (ЦФ). Подобласть 2 является зоной влияния на УВ1: ПХ — последняя из центростремлящихся характеристик, приходящих на УВ1. УВ2 изображает отраженную от ЦФ ударную волну, которая идет по газу, движущемуся навстречу. Рис. 1 может рассматриваться как гипотетическая картина явления в малой окрестности ЦФ, но в данном случае это также результат расчета по ГУВ модели.

Математическое моделирование включает:

1) обоснование факта использования автомодельных решений (2);

2) описание краевой задачи для соответствующей системы ОДУ как автомодельной задачи второго рода [8, 9], в которой показатель автомодельности определяется методом пристрелки из условия аналитического прохода известной интегральной кривой уравнения (5) через особую точку на фазовой плоскости, являющейся образом ПХ. На рис. 2 показаны две кривые (1 — по классической модели и 2 — по ГУВ) для $\gamma = 1.4$. Особая точка ПХ лежит на звуковой линии (ЗЛ);

3) построение ударного перехода (см. рис. 2) от точки УВ2– к точке УВ2+ осуществляется таким образом, чтобы фазовая траектория могла пройти из точки УВ+ вверх к особой точке ($U = (2 - 2n - \omega) / (n\gamma)$, $Z \rightarrow +\infty$), которая является седлом и приход в которую обеспечивает продолжимость течения до точки $r = 0$ при $t \rightarrow +\infty$ для подобласти 4 рис. 1.

Дополнительные детали по методике расчетов есть в [7–9].

3. РЕЗУЛЬТАТЫ РАСЧЕТОВ

Первым этапом построения решения является определение показателя автомодельности при заданных γ , ω и нахождение АП для трех параметров течения в подобласти 2 рис. 1. Поскольку автомодельное решение определено с точностью до масштабной постоянной K в (2), это позволяет положить $\eta = -1$ на ПХ (такова предварительная нормировка). Далее можно построить решение системы (3) в виде степенных рядов по $(\eta + 1)$ с учетом того, что нас интересует окрестность одной (с меньшим значением Z) из двух особых точек, которые соответствуют ПХ. Сделав небольшое отступление от $\eta = -1$ в сторону уменьшения η , можно получить начальные условия для интегрирования системы

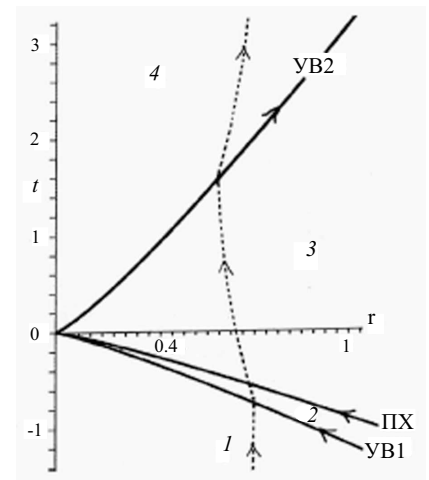


Рис. 1

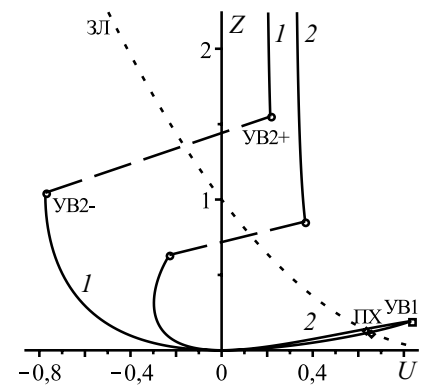


Рис. 2



(3) при выбранном $\gamma = 7/5$, $\omega = 0$ и некотором пробном значении n . Решая задачу Коши для системы в сторону уменьшения η , следят за поведением соответствующей фазовой траектории на плоскости (U, Z) с тем, чтобы попасть в известную неособую точку — образ УВ1+. Такое попадание возможно лишь при определенном подборе n и определенном размере интервала интегрирования по x . Так были получены первая и вторая строки в таблице и известное значение $n = 0.7171745$.

Модель	Характерная точка	η	$U1$	$R1$	$Z1$
СУВ $\omega = 0$ $n = 0.7171745$ $\gamma = 7/5$	УВ1+	-1.0	-5/6	6.0	7/36
	ПХ-	-0.845089	-0.773168	8.49174	0.1682177
	ПХ+	-0.845065	-0.773182	8.49062	0.168228
	УВ2-	2.68841	-0.287893	64.3086	0.144550
	УВ2+	2.68841	0.0794383	145.062	0.214518
		16.7345	0.0112545	54.4395	0.185998
	$\eta \rightarrow +\infty$	50.03389	0.00373867	31.5279	0.172507
ГУВ $\omega = 0.7900640$ $n = 0.8419872$ $\gamma = 7/5$	УВ1+	-1.0	-5/6	6.0	7/36
	ПХ-	-0.821996	-0.762431	6.95182	0.206241
	ПХ+	-0.821976	-0.762424	6.95178	0.206242
	УВ2-	1.44198	-0.158958	18.3459	0.304056
	УВ2+	1.44198	0.254178	35.5986	0.410791
		16.0763	0.0195063	4.36336	0.177409
		$\eta \rightarrow +\infty$	50.4683	0.00619525	1.76270

Аналогичное вычисление зависимости $n = n(\gamma)$ проведено для модели ГУВ, сравнение двух графиков (кривая 1 по модели СУВ, 2 — по ГУВ) дано на рис. 3.

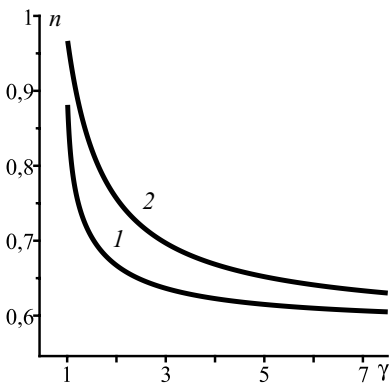


Рис. 3

Перейдем к описанию второго этапа построения решения. Используя найденные разложения для АП в окрестности $\eta = -1$ (их коэффициенты стали числами), находят начальные условия в задаче Коши для построения решения в подобласти 3 рис. 1. Интегрируют систему (3) в сторону увеличения η , так чтобы пройти точку с $\eta = 0$. Далее интегральная кривая на плоскости (U, Z) выходит на ЗЛ, где $Z = (U - 1)^2$, в точке, отличной от ПХ. Это означает предельную линию на (r, t) -плоскости, что недопустимо. Возникает задача определения местоположения отраженной УВ (см. п. 3 вышеприведенного математического моделирования) с тем, чтобы с помощью скачка УВ2- \rightarrow УВ2+ перепрыгнуть ЗЛ.

В таблице приведены характерные точки, полученные при интегрировании системы ОДУ для УВ1+, ПХ, УВ2-, УВ2+ и больших значений η . Расчеты были проведены для 2-х моделей (СУВ и ГУВ). Их использование позволяет легко воспроизвести АП и построить параметры соответствующих течений. В таблице была проведена вторая нормировка, так что значению УВ1 соответствует $\eta = -1$.

4. ОБСУЖДЕНИЕ РЕЗУЛЬТАТОВ

На рис. 4–7 приведены АП (по r) для скорости частиц, плотности, квадрата локальной скорости звука и энтропийной функции параллельно для 2-х обсуждаемых моделей. Всюду кривые 1 относятся к классической СУВ-модели, 2 — к ГУВ. Напомним, что эти функции при изменении η от $-\infty$ до $+\infty$ описывают поведение соответствующего параметра при фиксированном r и изменении t от $-\infty$ до $+\infty$.



На рис. 4 вертикальным пунктиром изображены УВ1 и УВ2. Область между УВ+ и ПХ– изображена утолщенной линией. Отметим, что сила (по $U1$) отраженной УВ почти в 2 раза меньше, чем падающей. Отраженная УВ по модели ГУВ возникает раньше, чем по СУВ. Качественное поведение $АП(U1)$ одинаковое.

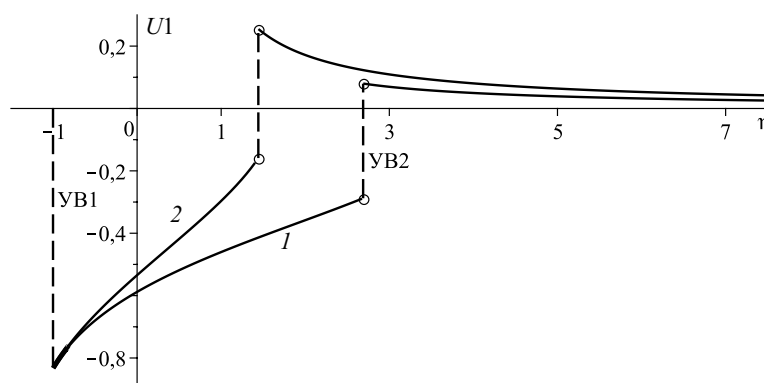


Рис. 4

На рис. 5 показан $АП(R1)$ (по r) для плотности. Сила (по $R1$) отраженной УВ по СУВ-модели более чем в 3 раза превосходит по ГУВ-модели. Качественное поведение $АП(R1)$ одинаковое.

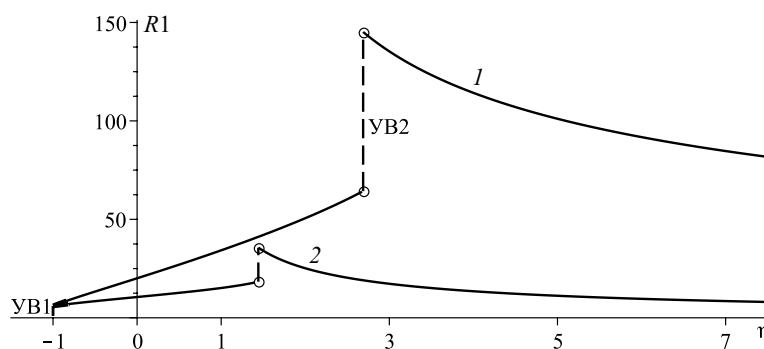


Рис. 5

На рис. 6 показан $АП(Z1)$ (по r) для квадрата локальной скорости звука (температуры с точностью до постоянного множителя). Кривая 1 показывает, что температура в фиксированной точке r подскакивает на проходящей УВ1, затем начинает падать до минимума, затем слегка возрастает, подскакивает в отраженной УВ2 с тем, чтобы уменьшаться со временем. Таким образом, $АП$ температуры — немонотонная функция в интервале между проходящей и отраженной УВ. Это означает наличие характерного размера. Кривая 2 имеет другое качественное поведение: температура продолжает расти в интервале между двумя УВ. Это можно объяснить тем, что газ адиабатически сжимается, так как частицы двигаются к ЦФ после сходящейся УВ. После отраженной УВ газ адиабатически расширяется, что приводит к его охлаждению.

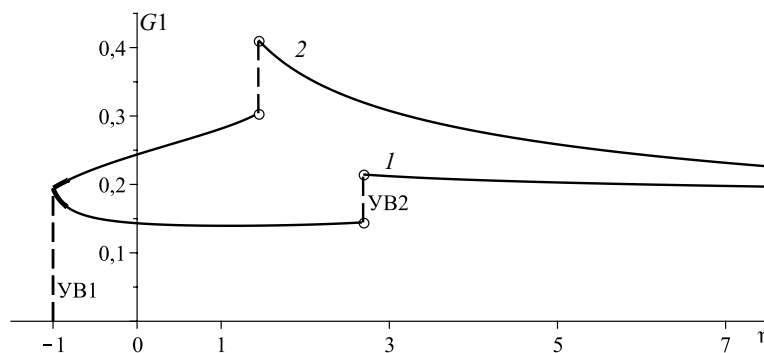


Рис. 6



На рис. 7 показаны $АП(S_1)$ (по r) для энтропийной функции. Кривая 1 после УВ1 монотонно и сильно убывает до появления УВ2, что представляется качественно правдоподобным, поскольку частицы, которые в начальный момент располагались ближе к ЦФ, проходят через более сильную УВ и получают большее значение энтропии позади нее. За отраженной УВ2 наблюдается монотонное возрастание энтропии, что не противоречит высказанному объяснению, так как скорость частиц в зоне 4 рис. 1 меняет знак. Кривая 2 демонстрирует кусочно постоянные значения S_1 , что соответствует гомэнтропической модели.

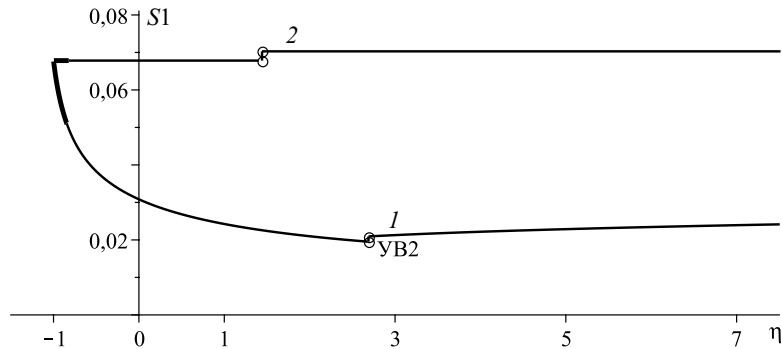


Рис. 7

ЗАКЛЮЧЕНИЕ

Классическое решение [1–3] — это решение хорошо поставленной задачи с краевыми и начальными условиями. Такая задача является *полностью* автомодельной [10]: основные уравнения, начальные и граничные условия инвариантны относительно группы подобных преобразований. Решение такой задачи дает локальную асимптотику (фазу схождения УВ к ЦФ) и от него нельзя требовать правильного описания второй фазы (отражения УВ от ЦФ). Физически интересными могут оказаться *частично* автомодельные решения (уравнения инвариантны, но часть условий — нет). Иногда такие решения выступают в роли промежуточных асимптотик изучаемого явления, они, в частности, способны «забывать» начальные условия. Приведем простой пример: если в лужу бросить прямоугольный кирпич, то от него почти сразу пойдет волна в виде расходящегося круга, которая описывается частично автомодельным решением, «забывшим» о «прямоугольных» начальных условиях. Возможно, что представленное новое решение является промежуточной асимптотикой для схождения — отражения УВ по газу постоянной начальной плотности. Для окончательного вывода требуется сравнение с результатами анализа асимптотик в конечноразностных решениях соответствующих задач.

Автор благодарит В.С. Кожанова за помощь в оформлении статьи.

Библиографический список

1. Guderley, G. Starke kugelige und zylindrische Verdichtungsstöße in der Nähe des Kugelmittelpunktes bzw. der Zylinderachse / G. Guderley // Luftfahrtforschung. — 1942. — В. 19, lfg. 9. — С. 302–312.
2. Ландау, Л.Д. Теоретическая физика. Т. VI. Гидродинамика / Л.Д. Ландау, Е.М. Лифшиц. — М.: Физматлит, 2003. — 736 с.
3. Станюкович, К.П. Неустановившиеся движения сплошной среды / К.П. Станюкович. — М.: Наука, 1971. — 856 с.
4. Овсянников, Л.В. Групповой анализ дифференциальных уравнений / Л.В. Овсянников. — Новосибирск: Изд-во СО АН СССР, 1962. — 236 с.
5. Хантер, К. О захлопывании пустой полости в воде / К. Хантер // Механика: период. сб. пер. иностр. ст. — 1961. — № 3 (67). — С. 77–100.
6. Lazarus, R.B. Self-Similar Solutions for Converging Shocks and Collapsing Cavities / R.B. Lazarus // SIAM J. Numer. Anal. — 1981. — V. 18, iss. 2. — P. 316–371.
7. Зельдович, Я.Б. Физика ударных волн и высокотемпературных гидродинамических явлений / Я.Б. Зельдович, Ю.П. Райзер. — М.: Наука, 1966. — 688 с.
8. Седов, Л.И. Методы подобия и размерностей в механике / Л.И. Седов. — М.: Наука, 1967. — 428 с.
9. Брушлинский, К.В. Об автомодельных решениях некоторых задач газовой динамики / К.В. Брушлинский, Я.М. Каждан // УМН. — 1963. — Т. 18, вып. 2 (110). — С. 3–23.
10. Баренблатт, Г.И. Подобие, автомодельность, промежуточная асимптотика / Г.И. Баренблатт. — Л.: Гидрометеоздат, 1978. — 207 с.